

01;05.2

## Поглощение электромагнитного излучения неоднородной цилиндрической частицей

© Э.В. Завитаев, А.А. Юшканов

Московский государственный университет леса,  
Московская область, Мытищи-5  
E-mail: yushkanov@mtu-net.ru

Поступило в Редакцию 5 марта 2004 г.

Проведено вычисление сечения поглощения электромагнитного излучения в неоднородной цилиндрической частице. Рассмотрен общий случай, когда отношение радиуса диэлектрического ядра к радиусу частицы может принимать произвольные значения. В качестве граничных условий задачи принято условие диффузного отражения электронов от внутренней и внешней поверхностей металлического слоя частицы. Рассмотрены предельные случаи, и проведено обсуждение полученных результатов.

**1. Введение.** Электромагнитные свойства малых металлических частиц могут существенно отличаться от свойств массивных образцов металла [1]. Если линейный размер  $R$  образца металла будет порядка  $\Lambda$  — длины свободного пробега электронов или меньше ее:  $R < \Lambda$ , то взаимодействие электронов с границей металлического образца начинает оказывать заметное влияние на их отклик на внешнее электромагнитное поле. Следствием этого и являются особые оптические свойства образца (металлической частицы). Поэтому, когда выполняется условие  $R < \Lambda$ , одна из основных оптических характеристик — сечение поглощения — обнаруживает нетривиальную зависимость от отношения  $R/\Lambda$ . При комнатной температуре в металлах с хорошей проводимостью (алюминий, медь, серебро и др.) длина свободного пробега электронов  $\Lambda$  лежит в следующих характерных пределах:  $10 \div 100$  nm. Размеры же экспериментально исследуемых частиц достигают нескольких nm, т.е. ситуация  $R < \Lambda$  реализуется.

В качестве аппарата, способного описывать отклик электронов на внешнее электромагнитное поле с учетом взаимодействия электронов с границей образца, может быть использована стандартная кинетическая теория электронов проводимости в металле [2]. В этом случае ограни-

чения на соотношение между длиной свободного пробега электронов и размером образца не накладываются.

Уравнения макроскопической электродинамики применимы лишь в случае „массивных“ образцов:  $R \gg \Lambda$ . Поэтому известная теория Ми, которая описывает взаимодействие электромагнитной волны с металлическими телами в рамках макроскопической электродинамики, непригодна для описания упомянутого размерного эффекта.

В работах [3,4] была построена теория взаимодействия электромагнитного излучения со сферической частицей. В упомянутых работах применяется подход, основанный на решении кинетического уравнения Больцмана для электронов проводимости в металле.

В последнее время возрос интерес к проблеме взаимодействия электромагнитного излучения с несферическими частицами [5]. Ряд работ [6–9] был посвящен описанию взаимодействия электромагнитного излучения с цилиндрической частицей, причем во всех вышеперечисленных работах рассматривались только однородные частицы, т.е. не поднимался вопрос о внутренней структуре поглощающих частиц.

Однако в последнее время в литературе появились сообщения об экспериментальных исследованиях частиц со сложной внутренней структурой [10,11]. Такие частицы состоят из диэлектрического (или металлического) ядра, окруженного металлической оболочкой, что, естественно, сказывается на оптических свойствах этих частиц.

В настоящей работе кинетическим методом рассчитана функция распределения, описывающая линейный отклик электронов проводимости в неоднородной цилиндрической частице (частица из металла с диэлектрическим ядром) на переменное магнитное поле плоской электромагнитной волны. По найденной функции распределения удастся рассчитать зависимость сечения поглощения от радиуса частицы и частоты, а также от отношения радиуса ядра к радиусу частицы.

**2. Математическая модель и расчет.** Рассматривается цилиндрическая частица длины  $L$ , состоящая из диэлектрического ядра, радиус которого  $R_1$ , окруженного оболочкой из немагнитного металла радиусом  $R_2$  (считаем, что  $L \gg R_2$ ), помещенная в поле плоской электромагнитной волны с частотой  $\omega$ , которая ограничена сверху частотами ближнего ИК-диапазона ( $\omega < 2 \cdot 10^{15} \text{ s}^{-1}$ ). Принимается, что направление магнитного поля в электромагнитной волне совпадает с осью неоднородного цилиндра. Частица считается малой, что означает  $R_2 \ll 2\pi c/\omega$  ( $c$  — скорость света в вакууме). Неоднородность

внешнего поля волны и скин-эффект не учитываются (предполагается, что  $R_2 < \delta$  — глубины скин-слоя). В рассматриваемом диапазоне частот вклад токов дипольной электрической поляризации будет мал по сравнению с вкладом вихревых токов, которые индуцируются внешним магнитным полем волны [3]. Поэтому действие внешнего электрического поля волны не учитывается.

Процесс поглощения энергии электромагнитной волны неоднородной цилиндрической частицей можно описать следующим образом: однородное периодическое по времени магнитное поле волны  $\mathbf{H} = \mathbf{H}_0 \exp(-i\omega t)$  вызывает появление в частице вихревого электрического поля напряженностью  $\mathbf{E}$ .

Вихревое электрическое поле воздействует на электроны проводимости в частице и вызывает отклонение  $f_1$  их функции распределения  $f$  от равновесной фермиевской  $f_0$  (предполагается, что ферми-поверхность имеет сферическую форму).

Это приводит к возникновению в частице вихревого тока

$$\mathbf{j} = e \int \mathbf{v} f \frac{2d^3(mv)}{h^3} = 2e \left(\frac{m}{h}\right)^3 \int \mathbf{v} f_1 d^3v, \quad (1)$$

(где  $h$  — постоянная Планка,  $e$  — заряд,  $\mathbf{v}$  — скорость,  $m$  — эффективная масса электрона), а также к диссипации в объеме частицы энергии. Энергия  $\bar{Q}$ , диссипируемая в единицу времени, равна [12]

$$\bar{Q} = \int \overline{(\operatorname{Re} \mathbf{E})(\operatorname{Re} \mathbf{j})} d^3r = \frac{1}{2} \operatorname{Re} \int \mathbf{j} \mathbf{E}^* d^3r, \quad (2)$$

здесь чертой обозначено усреднение по времени, а звездочкой — комплексное сопряжение.

Задача сводится к отысканию отклонения  $f_1$  функции распределения электронов от равновесной  $f_0$ , возникающего под действием вихревого электрического поля. В линейном приближении по внешнему полю функция  $f_1$  удовлетворяет кинетическому уравнению [2,13]

$$-i\omega f_1 + \mathbf{v} \frac{\partial f_1}{\partial \mathbf{r}} + e(\mathbf{v} \mathbf{E}) \frac{\partial f_0}{\partial \varepsilon} = -\frac{f_1}{\tau}, \quad (3)$$

где  $\mathbf{r}$  — радиус-вектор (начало координат выбирается на оси частицы),  $\tau$  — электронное время релаксации,  $\varepsilon$  — кинетическая энергия электрона.

Решая уравнение (3) методом характеристик [14], получаем выражение, по которому рассчитывается отклонение  $f_1$  функции распределения электронов (в граничных условиях принято, что отражение электронов от внутренней поверхности металлической оболочки и поверхности ядра носит диффузный характер).

При вычислении интегралов (1), (2) удобно перейти к цилиндрическим координатам как в пространстве координат  $(r_\perp, \varphi, r_z; \text{полярная ось — ось } Z; \text{ вектор } \mathbf{H}_0 \text{ параллелен оси } Z)$ , так и в пространстве скоростей  $(v_\perp, \alpha, v_z; \text{полярная ось — ось } v_z)$ . Ось цилиндра совпадает с осью  $Z$ .

Сечение поглощения электромагнитного излучения  $\sigma$  находим, разделив среднюю диссипируемую мощность  $\overline{Q}$  (см. (2)) на средний поток энергии в волне  $cH_0^2/8\pi$ :

$$\sigma = \frac{1}{2} \frac{8\pi}{cH_0^2} \operatorname{Re} \left\{ \int j_\varphi E_\varphi^* d^3r \right\}. \quad (4)$$

Проведенный расчет показывает, что сечение поглощения (4) вытянутой неоднородной цилиндрической частицы можно представить в виде

$$\sigma = \sigma_0(F_1 + F_2), \quad (5)$$

где

$$\sigma_0 = \frac{3\pi n e^2 v_f R_2^3 L}{mc^3}, \quad (6)$$

$$F_1 = \operatorname{Re} \left\{ 2y^2 \int_K^1 \xi^3 d\xi \times \int_0^1 \int_{\alpha_0}^\pi \frac{\rho^3}{\sqrt{1-\rho^2}} \frac{(1 - \exp(-z\eta/\rho))}{z} \sin^2 \alpha d\rho d\alpha \right\}, \quad (7)$$

$$F_2 = \operatorname{Re} \left\{ 2y^2 \int_K^1 \xi^3 d\xi \times \int_0^1 \int_0^{\alpha_0} \frac{\rho^3}{\sqrt{1-\rho^2}} \frac{(1 - \exp(-z\psi/\rho))}{z} \sin^2 \alpha d\rho d\alpha \right\}. \quad (8)$$

В формуле (6)  $n$  — концентрация электронов проводимости,  $v_f$  — скорость Ферми.

В формулах (7) и (8) мы ввели новые переменные:

$$\xi = \frac{r_{\perp}}{R_2}, \quad \rho = \frac{v_{\perp}}{v_f}, \quad K = \frac{R_1}{R_2}, \quad z = \left(\frac{1}{\tau} - i\omega\right) \frac{R_2}{v_f} = x - iy,$$

$$\alpha_0 = \arccos\left(\sqrt{1 - \frac{K^2}{\xi^2}}\right), \quad \psi = \left(\xi \cos \alpha - \sqrt{K^2 - \xi^2 \sin^2 \alpha}\right),$$

$$\eta = \left(\xi \cos \alpha + \sqrt{1 - \xi^2 \sin^2 \alpha}\right).$$

Когда  $K \rightarrow 0$  ( $\alpha_0 \rightarrow 0$ ), из (5) следует, что

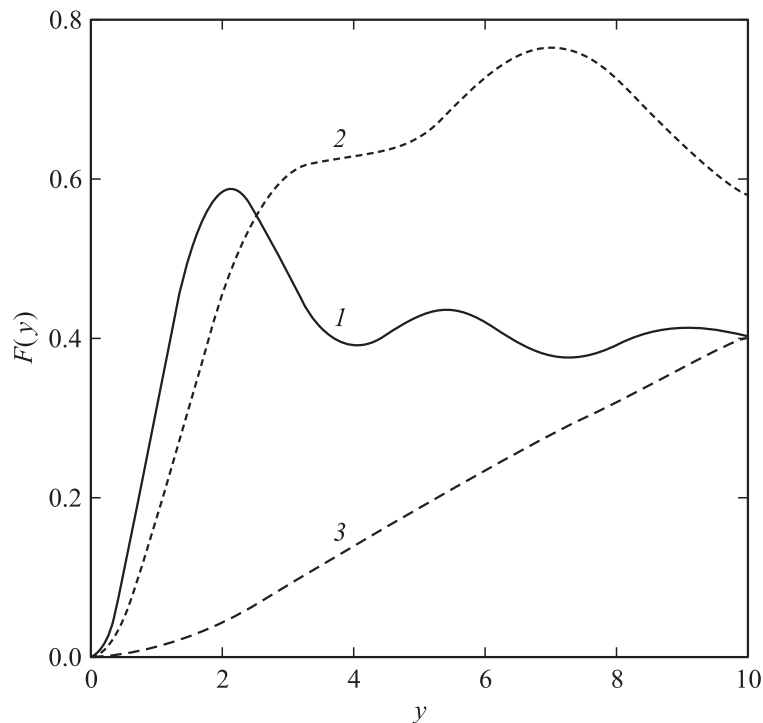
$$\sigma = \sigma_0 F(x, y) = \sigma_0 \operatorname{Re} \left\{ 2y^2 \int_0^1 \xi^3 d\xi \right.$$

$$\left. \times \int_0^1 \int_0^{\pi} \frac{\rho^3}{\sqrt{1 - \rho^2}} \frac{(1 - \exp(-z\eta/\rho))}{z} \sin^2 \alpha d\rho d\alpha \right\}. \quad (9)$$

Это выражение совпадает с результатом, полученным в работе [7], для однородной вытянутой цилиндрической частицы из металла.

Численный расчет безразмерного сечения поглощения  $F(x, y, K)$  неоднородной вытянутой цилиндрической частицы представлен на рис. 1, 2.

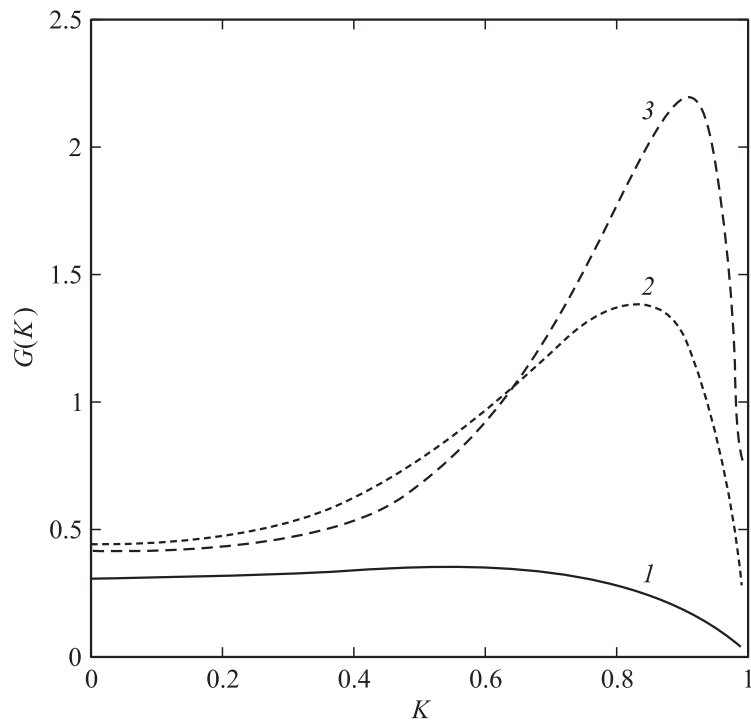
**3. Обсуждение полученных результатов.** На рис. 1 представлены зависимости безразмерного сечения поглощения  $F$  от безразмерной частоты внешнего поля  $y$ . Рисунок выполнен для свободного электронного случая, когда безразмерная обратная длина свободного пробега электронов  $x$  в металлической оболочке частицы очень мала ( $x = 0$ ), при этом отношение радиуса ядра к радиусу частицы  $K$  разное для каждой кривой на рисунке. Из анализа хода кривых следует, что особенностью поведения безразмерного сечения поглощения является сдвиг по фазе для кривых, построенных при различных значениях  $K$ , и сглаживание осцилляций частотной зависимости с увеличением этого отношения (из-за уменьшения объема металла в частице). При больших частотах внешнего поля ( $y \gg 1$ ) основной вклад в поглощение вносят электроны, находящиеся в узких слоях металла вблизи отражающих цилиндрических поверхностей внутри частицы (толщина этих слоев  $1 \sim v_f/\omega$ ).



**Рис. 1.** Зависимость безразмерного сечения поглощения  $F$  от безразмерной частоты  $y$ : 1 — ( $x = 0, K = 0.3$ ), 2 — ( $x = 0, K = 0.71$ ), 3 — ( $x = 0, K = 0.95$ ).

Поэтому при больших частотах сечение поглощения увеличивается с ростом параметра  $K$ , несмотря на то что в этом случае объем металла в частице уменьшается. Дело в том, что при этом становятся больше площадь поверхности, на которой происходит рассеяние электронов, и, следовательно, объем поглощающего слоя. Максимум безразмерного сечения поглощения при малых  $x$  ( $x \ll 1$ ) соответствует случаю, когда время пролета электронов между двумя отражающими поверхностями близко к периоду внешнего электромагнитного поля.

Для анализа зависимости безразмерного сечения поглощения  $F$  от отношения радиуса ядра к радиусу частицы  $K$  воспользуемся рис. 2, на



**Рис. 2.** Зависимость величины  $G$  от отношения радиуса ядра к радиусу частицы  $K$ : 1 —  $(x = 0, y = 1)$ , 2 —  $(x = 0, y = 3)$ , 3 —  $(x = 0, y = 5)$ .

котором приведено безразмерное сечение поглощения цилиндрической металлической частицы с диэлектрическим ядром, приходящееся на единицу объема металла  $G(K)$  в частице (удельное сечение поглощения):

$$G(K) = \frac{F(K)}{1 - K^2}.$$

Легко заметить нетипичное поведение удельного сечения поглощения для случая цилиндрических частиц, имеющих внешнюю оболочку из чистого металла (электроны в таких металлах обладают большой длиной свободного пробега), или для очень мелких цилиндрических

частиц, когда выполняется условие  $x \ll 1$ . У таких частиц в широком диапазоне значений  $K$  удельное сечение поглощения может быть больше даже при меньшей частоте внешнего поля. С ростом  $x$  удельное сечение поглощения становится монотонно возрастающей функцией частоты внешнего поля (напряженность вихревого электрического поля прямо пропорциональна частоте внешнего электромагнитного поля). При значениях  $K$ , близких к единице, удельное сечение поглощения невелико на всех частотах потому, что цилиндрическая металлическая оболочка частицы очень тонкая и электроны при своем движении между поверхностями оболочки не успевают существенно ускориться внешним электромагнитным полем (при этом плотность тока в оболочке стремится к нулю).

## Список литературы

- [1] *Петров Ю.И.* Физика малых частиц. М.: Наука, 1984. Гл. 7.
- [2] *Займан Дж.* Электроны и фононы. М.: ИЛ, 1962. Гл. 11.
- [3] *Лесскис А.Г., Пастернак В.Е., Юшканов А.А.* // ЖЭТФ. 1982. Т. 83. № 1. С. 310–317.
- [4] *Лесскис А.Г., Юшканов А.А., Яламов Ю.И.* // Поверхность. 1987. № 11. С. 115–121.
- [5] *Томчук П.М., Томчук Б.П.* // ЖЭТФ. 1997. Т. 112. В. 2 (8). С. 661–678.
- [6] *Завитаев Э.В., Юшканов А.А., Яламов Ю.И.* // ЖТФ. 2001. Т. 71. В. 11. С. 114–118.
- [7] *Завитаев Э.В., Юшканов А.А., Яламов Ю.И.* // Опт. и спектр. 2002. Т. 92. № 5. С. 851–856.
- [8] *Завитаев Э.В., Юшканов А.А., Яламов Ю.И.* // ЖТФ. 2003. Т. 73. В. 3. С. 16–22.
- [9] *Завитаев Э.В., Юшканов А.А., Яламов Ю.И.* // ЖЭТФ. 2003. Т. 124. № 5. С. 1112–1120.
- [10] *Averitt R.D., Westcott S.L., Halas N.J.J.* // J. Opt. Soc. Amer. B. 1999. V. 16. N 10. P. 1824–1832.
- [11] *Henglein A.* // J. Phys. Chem. B. 2000. V. 104. N 10. P. 2201–2203.
- [12] *Ландау Л.Д., Лифшиц Е.М.* Электродинамика сплошных сред. М.: Наука, 1992. С. 664.
- [13] *Харрисон У.* Теория твердого тела. М.: Мир, 1972.
- [14] *Курант Р.* Уравнения с частными производными. М.: Мир, 1964. Гл. 2.